

Aplikovaná matematika

doc. Ing. Miroslav Halás, PhD.
miroslav.halas@stuba.sk

zimný semester, 2016

Štruktúra predmetu

Info

- Prednášky - c801
- Cvičenia - d328/d330

Body

- Semester - 40b
- Skúška - 60b
- Bonus - 5 až 10b

Literatúra

- Huba M., Hubinský P., Žáková K.: Teória systémov. Vydavateľstvo STU Bratislava, 2002.
- Kubík S. a kol.: Teorie automatického řízení I. Lineární a nelineární systémy. SNTL Praha, 1982.
- Callier, F., Desoer, Ch.: Linear System Theory. Springer, 1991.

Dynamické systémy

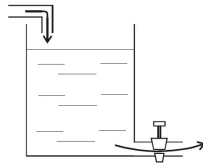
Príklady dynamických systémov

- auto na vozovke

$$\ddot{y} + \frac{k}{m}\dot{y} = \frac{1}{m}u$$

- nádrž s otvorom

$$\dot{y} + \frac{k\sqrt{2g}}{A}\sqrt{y} = \frac{1}{A}u$$



Dynamické systémy

Príklady dynamických systémov

- teplota v miestnosti
- RLC obvod
- populácia zajacov a vlkov v oblasti
- správanie sa vírusu (HIV)
- turbína
- vrtuľník
- tlak v kotli
- počet neutrónov v reaktore
- chemická reakcia
- rádioaktívny rozpad
- ...

Možné opisy dynamických systémov

- lineárna diferenciálna rovnica

$$y^{(n)} + a_{n-1}y^{(n-1)} + \dots + a_1\dot{y} + a_0y = b_mu^{(m)} + \dots + b_1\dot{u} + b_0u$$

- nelineárna diferenciálna rovnica

$$y^{(n)} = \varphi(y, \dot{y}, \dots, y^{(n-1)}, u, \dot{u}, \dots, u^{(m)})$$

- diferenčné rovnice
- ...

Laplaceova transformácia

- nástroj riešenia lineárnych diferenciálnych rovníc
- nástroj opisu dynamických systémov a signálov v nich

Priama

$$F(s) = \mathcal{L}\{f(t)\} \qquad F(s) = \int_0^{\infty} e^{-st} f(t) dt$$

Spätná

$$f(t) = \mathcal{L}^{-1}\{F(s)\} \qquad f(t) = \frac{1}{2\pi i} \lim_{T \rightarrow \infty} \int_{\gamma - iT}^{\gamma + iT} e^{st} F(s) ds$$

Laplaceova transformácia

Tabuľka

$f(t)$	$F(s)$	$f(t)$	$F(s)$
$\delta(t)$	1	$\sin \omega t$	$\frac{\omega}{s^2 + \omega^2}$
$1(t)$	$\frac{1}{s}$	$\cos \omega t$	$\frac{s}{s^2 + \omega^2}$
t	$\frac{1}{s^2}$	$f'(t)$	$sF(s) - f(0)$
t^n	$\frac{n!}{s^{n+1}}$	$f^{(n)}(t)$	$s^n F(s) - s^{n-1} f(0) -$ $\dots - f^{(n-1)}(0)$
e^{at}	$\frac{1}{s - a}$	$\int_0^t f(\tau) d\tau$	$\frac{1}{s} F(s)$
$f(t - T)$	$F(s)e^{-sT}$	FVT: $\lim_{t \rightarrow \infty} f(t) = \lim_{s \rightarrow 0} sF(s)$	
$\int_0^t f(x)g(t-x)dx$	$F(s)G(s)$	IVT: $\lim_{t \rightarrow 0} f(t) = \lim_{s \rightarrow \infty} sF(s)$	

Laplaceova transformácia

Example

Pomocou Laplaceovej transformácie vypočítajte, ako sa bude meniť dráha auta na vozovke, ak má počiatočnú rýchlosť $25 \text{ m} \cdot \text{s}^{-1}$ a počiatočnú polohu 0 m .



$$\ddot{y} + \frac{k}{m}\dot{y} = 0 \quad \Rightarrow \quad s^2 Y(s) - 25 + \frac{k}{m}sY(s) = 0$$

$$Y(s) = \frac{25}{s(s + \frac{k}{m})} \quad \Rightarrow \quad \begin{aligned} y(t) &= 25 \frac{m}{k} \left(1 - e^{-\frac{k}{m}t}\right) \\ y(\infty) &= 25 \frac{m}{k} \end{aligned}$$

Prenosová funkcia

Definition

Pomer Laplaceovho obrazu výstupu systému k Laplaceovmu obrazu vstupu systému pri nulových počiatkových podmienkach.

$$F(s) = \frac{Y(s)}{U(s)}$$

Nezávisí od konkrétneho signálu, ktorý na vstup dáme!

Example

Nájdite prenosovú funkciu integrátora.

Example

Nájdite prenosovú funkciu auta pohybujúceho sa na vozovke.

Bloková schéma a jej modifikácia

Základné zapojenia

- sériové

$$F(s) = F_A(s) \cdot F_B(s)$$

- paralelné

$$F(s) = F_A(s) + F_B(s)$$

- spätnoväzobné

$$F(s) = \frac{F_A(s)}{1 - F_A(s) \cdot F_B(s)}$$

Každá bloková schéma sa dá pomocou úprav zjednodušiť na niektoré z týchto základných zapojení. A to pomocou:

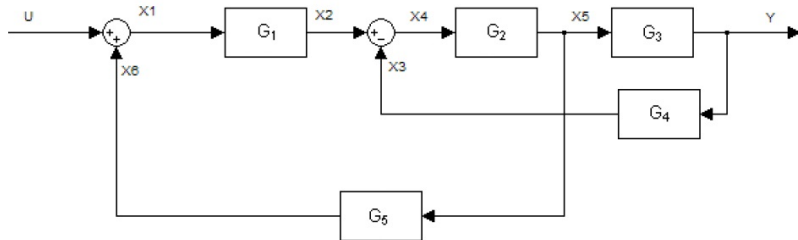
- presunutia súčtového člena
- presunutia uzlu

Bloková schéma a jej modifikácia

Úprava blokovej schémy

Example

Pomocou úprav blokovej schémy nájdite výslednú prenosovú funkciu.



Bloková schéma

Ďalšie možnosti

Signálový diagram - Masonov vzorec

- vetva - spojenie dvoch uzlov
- vlákno - prepojenie vstupného a výstupného uzla pomocou radu sériovo zapojených vetiev
- slučka - do seba uzavreté spojenie jednej alebo viacerých vetiev
- prenos vlákna $F_v(s)$ - súčin prenosov všetkých vetiev zapojených do vlákna
- prenos slučky $F_s(s)$ - súčin prenosov všetkých vetiev zapojených do slučky

Bloková schéma

Ďalšie možnosti

Signálový diagram - Masonov vzorec

$$F(s) = \frac{1}{\Delta} \sum_i F_{vi}(s) \cdot \Delta_i$$

kde $\Delta = 1 - \sum_i F_{s1i}(s) + \sum_j F_{s2j}(s) - \sum_k F_{s3k}(s) + \dots$ je determinant signálového diagramu.

- $F_{s1i}(s)$ - prenos i -tej slučky v signálovom diagrame
- $F_{s2j}(s)$ - súčin prenosov dvoch navzájom sa nedotýkajúcich slučiek
- $F_{s3k}(s)$ - súčin prenosov troch navzájom sa nedotýkajúcich slučiek

Δ_i - subdeterminant i -teho vlákna - počíta sa rovnako ako Δ , ale vynechajú sa všetky slučky dotýkajúce sa daného vlákna

Bloková schéma

Ďalšie možnosti

Metóda eliminácie premenných

- spočíva v rozpísaní celej schémy do niekoľkých rovníc:

- rovnice pre súčtové členy
- rovnice pre jednotlivé bloky

Následným riešením sústavy týchto rovníc nájdeme výsledný prenos

Example

Nájdite výsledný prenos blokovej schémy z predošlého príkladu pomocou:

- Masonovho vzorca
- metódy eliminácie premenných

Charakteristiky systémov

(Najdôležitejšiou) charakteristikou systému je jeho rád

Ďalej systémy delíme na:

- lineárne
- nelineárne

- statické
- astatické

- bez oneskorenia
- s oneskorením

Charakteristiky systémov

Prevodová charakteristika

- závislosť výstupu systému na jeho vstupe v ustálenom stave

Vieme zistiť z diferenciálnej rovnice, z prenosovej funkcie alebo experimentom

Prechodová charakteristika

- odozva systému na jednotkový skok

Vieme zistiť z prenosovej funkcie alebo experimentom

Impulzná charakteristika

- odozva systému na Diracov impulz

Vieme zistiť z prenosovej funkcie alebo experimentom

Charakteristiky systémov

Vzťah medzi impulznou charakteristikou - $k(t)$, a prechodovou charakteristikou - $y(t)$

$$y(t) = \int_0^t k(\tau) d\tau \qquad k(t) = \dot{y}(t)$$

Example

Nájdite impulznú charakteristiku auta pohybujúceho sa na vozovke

Example

Nájdite prechodovú charakteristiku systému opísaného diferenciálnou rovnicou $\ddot{y} + 4\dot{y} + 3y = \dot{u} + u$

Frekvenčný prenos a frekvenčné charakteristiky

Definition

Pomer Fourierovho obrazu výstupu systému k Fourierovmu obrazu vstupu systému pri nulových počiatkových podmienkach.

$$F(j\omega) = \frac{Y(j\omega)}{U(j\omega)}$$

$$F(j\omega) = \operatorname{Re}\{F(j\omega)\} + j \cdot \operatorname{Im}\{F(j\omega)\}$$

alebo

$$F(j\omega) = |F(j\omega)| \cdot e^{j \cdot \arg F(j\omega)}$$

Frekvenčný prenos a frekvenčné charakteristiky

Odozva systému na harmonický vstupný signál s frekvenciou ω a s jednotkovou amplitúdou

$$u(t) = \sin(\omega t) \quad \rightarrow \quad y(t) = A(\omega) \sin(\omega t + \varphi(\omega))$$

Amplitúda výstupu

$$A(\omega) = |F(j\omega)| = \sqrt{(\operatorname{Re}\{F(j\omega)\})^2 + (\operatorname{Im}\{F(j\omega)\})^2}$$

Fázový posun výstupu (voči vstupu)

$$\varphi(\omega) = \arg F(j\omega) = \arctan \frac{\operatorname{Im}\{F(j\omega)\}}{\operatorname{Re}\{F(j\omega)\}}$$

Frekvenčný prenos a frekvenčné charakteristiky

Frekvenčná charakteristika - grafické zobrazenie frekvenčného prenosu

Nyquist-ova charakteristika

- v komplexnej rovine

$$F(j\omega) = \operatorname{Re}\{F(j\omega)\} + j \cdot \operatorname{Im}\{F(j\omega)\} \quad ; \quad \omega = 0 \dots \infty$$

Bode-ho charakteristiky

- v logaritmických súradniciach

$$F(j\omega) = |F(j\omega)| \cdot e^{j \cdot \arg F(j\omega)} \quad ; \quad \omega = 0 \dots \infty$$

– amplitúdová: $20 \log |F(j\omega)| \times \log \omega$ [dB]

– fázová: $\arg F(j\omega) \times \log \omega$ [rad]

Stavový priestor

Matematický model dynamického systému:

- vstupno-výstupná diferenciálna rovnica n -tého rádu, alebo druhá možnosť
- n diferenciálnych rovníc prvého rádu - stavový opis

Stavový opis systému

$$\begin{aligned}\dot{x} &= Ax + Bu \\ y &= Cx\end{aligned}$$

kde u je vstup, y je výstup a x je **stav systému** (vektor).

Stavový opis zobrazuje aj vnútornú štruktúru systému (stavy systému a vzájomné vzťahy medzi nimi).

Stavový priestor

Riešenie rovníc - pomocou Laplace-ovej transformácie:

$$sX(s) - x(0) = AX(s) + BU(s)$$

$$(sI - A)X(s) = x(0) + BU(s)$$

$$X(s) = (sI - A)^{-1}x(0) + (sI - A)^{-1}BU(s)$$

$$Y(s) = C(sI - A)^{-1}x(0) + C(sI - A)^{-1}BU(s)$$

Prenosová funkcia

Pre nulové počiatkové podmienky dostávame

$$F(s) = \frac{Y(s)}{U(s)} = C(sI - A)^{-1}B$$

Stavový priestor

Riaditeľnosť a pozorovateľnosť

Definition

Stav systému $x \neq 0$ sa nazýva **riaditeľný**, ak existuje taký vstup $u(t)$, ktorým sa systém za konečný čas prevedie do nuly. Systém sa nazýva **riaditeľný**, ak sú všetky stavy riaditeľné.

Matica riaditeľnosti

$$Q_R = (B \quad AB \quad A^2B \quad \dots \quad A^{n-1}B)$$

Theorem

Systém je riaditeľný vtedy a len vtedy, ak

$$\text{rank } Q_R = n$$

Stavový priestor

Riaditeľnosť a pozorovateľnosť

Definition

Stav systému x sa nazýva **pozorovateľný**, ak sa dá určiť pomocou budúcich hodnôt výstupu $y(t)$ za konečný čas. Systém sa nazýva **pozorovateľný**, ak sú všetky stavy pozorovateľné.

Matica pozorovateľnosti

$$Q_P = \begin{pmatrix} C \\ CA \\ CA^2 \\ \vdots \\ CA^{n-1} \end{pmatrix}$$

Theorem

Systém je pozorovateľný vtedy a len vtedy, ak

$$\text{rank } Q_P = n$$

Stavové transformácie

Zmena súradnicového systému

$$\begin{array}{l} \dot{x} = Ax + Bu \\ y = Cx \end{array} \rightarrow z = Tx \rightarrow \begin{array}{l} \dot{z} = \bar{A}z + \bar{B}u \\ y = \bar{C}z \end{array}$$

Transformačné vzťahy:

$$\begin{aligned} \bar{A} &= TAT^{-1} \\ \bar{B} &= TB \\ \bar{C} &= CT^{-1} \end{aligned}$$

Prenosová funkcia systému je invariantná voči stavovým transformáciám.

Stavové transformácie

Kanonická forma riaditeľnosti

$$\begin{aligned}\dot{x} &= A_R x + B_R u \\ y &= C_R x\end{aligned}$$

kde

$$A_R = \begin{pmatrix} 0 & 1 & 0 & \cdots & 0 \\ 0 & 0 & 1 & \cdots & 0 \\ \cdots & \cdots & \cdots & \cdots & \cdots \\ 0 & 0 & 0 & \cdots & 1 \\ -a_0 & -a_1 & -a_2 & \cdots & -a_{n-1} \end{pmatrix} \quad B_R = \begin{pmatrix} 0 \\ 0 \\ \cdots \\ 0 \\ 1 \end{pmatrix}$$

$$C_R = (b_0 \quad b_1 \quad b_2 \quad \cdots \quad b_{n-1})$$

Stavové transformácie

Kanonická forma pozorateľnosti

$$\begin{aligned}\dot{x} &= A_P x + B_P u \\ y &= C_P x\end{aligned}$$

kde

$$A_P = \begin{pmatrix} 0 & 0 & 0 & \cdots & -a_0 \\ 1 & 0 & 0 & \cdots & -a_1 \\ 0 & 1 & 0 & \cdots & -a_2 \\ \cdots & \cdots & \cdots & \cdots & \cdots \\ 0 & 0 & \cdots & 1 & -a_{n-1} \end{pmatrix} \quad B_P = \begin{pmatrix} b_0 \\ b_1 \\ b_2 \\ \cdots \\ b_{n-1} \end{pmatrix}$$

$$C_P = (0 \ 0 \ \cdots \ 0 \ 1)$$

- štrukturálna vlastnosť systémov

Prvoradou a najdôležitejšou podmienkou návrhu akéhokoľvek riadenia je aby bol výsledný regulačný obvod stabilný.

Theorem

Lineárny systém s prenosovou funkciou

$$F(s) = \frac{b(s)}{a(s)} = \frac{b(s)}{(s - \alpha_n) \cdots (s - \alpha_2)(s - \alpha_1)}$$

je asymptoticky stabilný vtedy a len vtedy, ak všetky korene menovateľa (charakteristického polynómu) ležia v ľavej komplexnej polrovine

$$\operatorname{Re}\{\alpha_i\} < 0 ; \quad i = 1, \dots, n$$

Stabilita

Ak

- $\operatorname{Re}\{\alpha_i\} > 0$ pre jedno či viaceré i , systém je nestabilný,
- $\operatorname{Re}\{\alpha_i\} = 0$ pre jedno či viaceré i (a $\operatorname{Re}\{\alpha_i\} < 0$ pre ostatné), systém je na hranici stability.

Pre systém v stavovom priestore

$$\begin{aligned}\dot{x} &= Ax + Bu \\ y &= Cx\end{aligned}$$

$$F(s) = C(sI - A)^{-1}B = \frac{b(s)}{a(s)}$$

platí $a(s) = \det(sI - A)$.

Takže α_i , $i = 1, \dots, n$, sú **vlastné čísla** matice A .

Metódy vyšetrovania stability

Problem

Ak má otvorený regulačný obvod (ORO) prenos

$$F_o(s) = K \frac{b(s)}{a(s)}$$

pre aký rozsah zosilnení K bude uzavretý regulačný obvod (URO) stabilný?

- Routhovo kritérium stability,
- geometrické miesto koreňov (GMK),
- Nyquistovo kritérium stability,
- ...

Routhovo kritérium stability

Nech $A(s) = a_n s^n + a_{n-1} s^{n-1} + \dots + a_1 s + a_0$ je charakteristický polynóm URO $F_U(s)$

$k_{n-1} = \frac{a_n}{a_{n-1}}$	s^{n-1}	a_n a_{n-1}	a_{n-2} a_{n-3}	a_{n-4} a_{n-5}	\dots \dots
$k_{n-2} = \frac{a_{n-1}}{b_{n-2}}$	s^{n-2}	$b_{n-2} = a_{n-2} - k_{n-1}a_{n-3}$	$b_{n-4} = a_{n-4} - k_{n-1}a_{n-5}$	$b_{n-6} = \dots$	
$k_{n-3} = \frac{b_{n-2}}{c_{n-3}}$	s^{n-3}	$c_{n-3} = a_{n-3} - k_{n-2}b_{n-4}$	$c_{n-5} = a_{n-5} - k_{n-2}b_{n-6}$		
	\vdots				
$k_1 = \frac{d_2}{e_2}$	s^1	e_1	0		
$k_0 = \frac{e_1}{f_0}$	s^0	f_0	0		
		0			



Počet znamienkových zmien v prvom stĺpci je rovný počtu nestabilných koreňov (ak sú všetky kladné, systém je stabilný).

Geometrické miesto koreňov - GMK

- grafické znázornenie polohy koreňov charakteristickej rovnice URO v závislosti od zmeny zosilnenia K
- určuje sa z prenosu ORO

Prenos ORO

$$F_o(s) = K \frac{b(s)}{a(s)} = \kappa \frac{(s - \beta_m) \cdots (s - \beta_1)}{(s - \alpha_n) \cdots (s - \alpha_1)}$$

- nuly - korene čitateľa
- póly - korene menovateľa

Geometrické miesto koreňov - GMK

Evansove pravidlá na konštrukciu GMK

- Jednotlivé vetvy GMK začínajú pre $K = 0$ v póloch prenosu ORO $F_o(s)$.
- GMK končí pre $K \rightarrow \infty$ v nulách prenosu ORO $F_o(s)$, pričom
- v póloch začína n vetiev, z ktorých m končí v nulách a zvyšných $n - m$ vetiev končí v nekonečne.
- Vetvy GMK, ktoré neležia na reálnej osi, sú voči nej symetrické.
- Súčasťou GMK sú všetky body reálnej osi, od ktorých napravo leží nepárny počet pólov a núl prenosu ORO $F_o(s)$ (pričom tieto počítame s príslušnou násobnosťou)
- Vetvy GMK opúšťajú reálnu os (resp. vstupujú do nej) v bode λ , ktorý učíme z rovnice $a'(\lambda)b(\lambda) - a(\lambda)b'(\lambda) = 0$.
- Asymptoty vetiev GMK, ktoré končia v nekonečne, pretínajú reálnu os pod uhlom $\varphi = \frac{(2k+1)\pi}{n-m}$ pre $k = 0, 1, 2, \dots, n - m - 1$.
- Priesečník asymptôt s reálnou osou určíme podľa vzťahu
$$\delta = \frac{\sum \alpha_i - \sum \beta_j}{n-m}.$$

Nyquistovo kritérium stability

- frekvenčné kritérium

Nyquistova krivka = frekvenčná charakteristika + komplexne združená frekvenčná charakteristika

Potom platí

$$\Omega = P - N$$

kde

Ω je počet obehov Nyquistovej krivky okolo bodu -1

P je počet nestabilných pólov ORO $F_o(s)$

N je počet nestabilných pólov URO $F_u(s)$

Dá sa riešiť aj analyticky. Hranica stability je

$$\operatorname{Re}\{F_o(j\omega)\} = -1 \quad \operatorname{Im}\{F_o(j\omega)\} = 0$$

Z-transformácia

Diskrétna Laplace-ova transformácia

- nástroj riešenia lineárnych diferenčných rovníc
- nástroj opisu diskretných systémov a signálov v nich

Priama

$$F(z) = \mathcal{Z}\{f(kT)\}$$

$$F(z) = \sum_{k=0}^{\infty} f(kT)z^{-k} = f(0) + f(T)z^{-1} + f(2T)z^{-2} + \dots$$

Spätná

$$f(kT) = \mathcal{Z}^{-1}\{F(z)\} \qquad f(kT) = \frac{1}{2\pi i} \oint_{\Gamma} F(z)z^{k-1}dz$$

Z-transformácia

Tabuľka

$f(t), t = kT$	$F(z)$	$f(t), t = kT$	$F(z)$
$\delta(kT)$	1	$\cos \omega kT$	$\frac{z^2 - z \cos \omega T}{z^2 - 2z \cos \omega T + 1}$
$1(kT)$	$\frac{z}{z-1}$	$f(kT - T)$	$F(z)z^{-1}$
kT	$\frac{zT}{(z-1)^2}$	$f(kT - nT)$	$F(z)z^{-n}$
$(kT)^2$	$\frac{z(z+1)T^2}{(z-1)^3}$	$f(kT + nT)$	$F(z)z^n - z^n f(0) - z^{n-1} f(T) - \dots - zf((n-1)T)$
e^{akT}	$\frac{z}{z-D}; \quad D = e^{aT}$	FVT: $\lim_{k \rightarrow \infty} f(kT) = \lim_{z \rightarrow 1} \frac{z-1}{z} F(z)$	
$\sin \omega kT$	$\frac{z \sin \omega T}{z^2 - 2z \cos \omega T + 1}$	IVT: $\lim_{k \rightarrow 0} f(kT) = \lim_{z \rightarrow \infty} F(z)$	

Z-transformácia

Mnoho pojmov, definícií a viet je analogických ako pri spojitých systémoch (Laplace-ovej transformácii)

Definition (Prenosová funkcia)

Pomer Z -obrazu výstupu systému k Z -obrazu vstupu systému pri nulových počiatočných podmienkach.

$$F(z) = \frac{Y(z)}{U(z)}$$

Example

Nájdite prenosovú funkciu systému

$$y(k+2) + 3y(k+1) + 2y(k) = u(k)$$

Prepočet spojitého systému na diskrétny

Postup

- 1 Pre dané $F(s)$
- 2 nájdeme $Y(s) = \frac{1}{s}F(s)$
- 3 a vyjadríme analyticky $y(t)$.
- 4 Potom nájdeme $y(kT)$,
- 5 spravíme Z-transformáciu $Y(z)$
- 6 a nájdeme $F(z) = \frac{z-1}{z} Y(z)$

Example

Nájdite Z-prenos k systému prvého rádu $F(s) = \frac{1}{T_1 s + 1}$

Charakteristiky diskrétnych systémov

Prechodová charakteristika

- odozva systému na jednotkový skok

Vieme zistiť z prenosovej funkcie $F(z)$ ako

$$Y(z) = F(z) \cdot U(z) ; \quad U(z) = \frac{z}{z-1}$$

Impulzná charakteristika

- odozva systému na Diracov impulz

Vieme zistiť z prenosovej funkcie $F(z)$ ako

$$Y(z) = F(z) \cdot U(z) ; \quad U(z) = 1$$

Stabilita diskretných systémov

- štrukturálna vlastnosť systémov

Theorem

Diskretný lineárny systém s prenosovou funkciou

$$F(z) = \frac{b(z)}{a(z)} = \frac{b(z)}{(z - \alpha_n) \cdots (z - \alpha_2)(z - \alpha_1)}$$

je asymptoticky stabilný vtedy a len vtedy, ak všetky korene menovateľa (charakteristického polynómu) ležia vo vnútri jednotkovej kružnice

$$|\alpha_i| < 1 ; \quad i = 1, \dots, n$$

Ak

- $|\alpha_i| > 1$ pre jedno či viaceré i , systém je nestabilný,
- $|\alpha_i| = 1$ pre jedno či viaceré i (a $|\alpha_i| < 1$ pre ostatné), systém je na hranici stability.

Pre systém v stavovom priestore

$$\begin{aligned}x(k+1) &= A_D x(k) + B_D u(k) & F(z) &= C_D(zI - A_D)^{-1} B_D \\y(k) &= C_D x(k) & &= \frac{b(z)}{a(z)}\end{aligned}$$

platí $a(z) = \det(zI - A_D)$.

Takže α_i , $i = 1, \dots, n$, sú **vlastné čísla** matice A_D .